УДК 541.124

ФИЗИЧЕСКАЯ ХИМИЯ

Э. А. ОГАНЕСЯН, И. А. ВАРДАНЯН, академик АН АРМССР А. Б. НАЛБАНДЯН

ИЗУЧЕНИЕ КИНЕТИКИ РЕАКЦИИ ОКИСЛЕНИЯ АЦЕТАЛЬДЕГИДА ПРИ ВЫСОКИХ ТЕМПЕРАТУРАХ *

Ацетальдегид — один из главных промежуточных продуктов термического окисления высших предельных углеводородов и, в частности, окисления пропана (¹). До последнего времени принималось (¹), что за разветвление цени в реакции окисления пропана ответственна реакция

$$CH_3CHO + O_2 \rightarrow CH_3CO + HO_2.$$
 (1)

Поляк и Штерн в работе (2) справедливо отметили, что реакция (4) не может отвечать за разветвление цепи. С нею должны успешно конкурировать участвующие в окислении пропана реакции радикалов с ацетальдегидом, приводящие к образованию ацетильного радикала. Последний в результате взаимодействия с кислородом дает ацетилперекисный радикал. По мнению авторов, разветвление цепи происходит в результате распада радикала CH_3CO_3 на радикал CH_3 , атом кислорода и молекулу CO_2 . Этот маловероятный акт с одновременным разрывом двух связей в радикале CH_3CO_3 авторы принимают, по-видимому, в связи с тем, что при работе в статике или в струе при больших временах пребывания реагирующей смеси в зоне реакции в продуктах окисления пропана не были обнаружены органические перекиси.

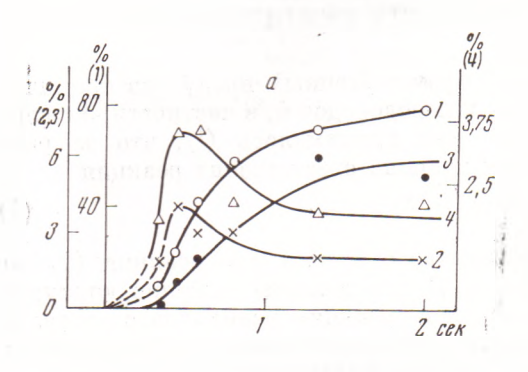
При окислении ацетальдегида в струе при 235° С сравнительно малых временах контакта ($t_k \approx 30$ сек.) в продуктах реакции были обнаружены большие конпентрации ацетилперекисных радикалов и надуксусной кислоты, образующейся в результате $CH_3CO_3 + CH_3CHO \rightarrow CH_3CO_3H + CH_3CO$. В настоящей работе поставлена задача исследования кинетики реакции окисления ацетальдегида при более высоких температурах (300-400°) и значительно меньших временах контакта (0,1-2 сек), в надежде обнаружить в продуктах реакции надуксусную кислоту и изучить кинетику ее накопления. Опыты проводились в пирексовом сосуде (l=18 см, d=0.9 см) при атмосферном давлении. Окислению подвергалась смесь, содержащая 1,5% СН₃СНО и 98,5% воздуха при 325, 350 и 375°. Воздух барботировал жидкий ацетальдегид, находящийся в колбе, погруженной в дьюар со спиртом, охлажденным сухим льдом. Концентрация ацетальдегида в струе регулировалась подбором температуры дьюара. Ацетальдегид и продукты реакции (уксусная кислота и метиловый спирт) анализировались хроматографически на полиэтиленгликольадипинате, нанесенном на хромосорб W (температура колонки 130°, размеры: d=3 мм, l=2 м) при помощи пламенно-ионизационного детектора. Анализ водного раствора остальных продуктов реакции, накопленных в охлаждаемом скрубере. проводился немедленно, так как при стоянии раствора происходит изменение его состава. Перекись водорода анализировалась на ФЭК с использованием титанового реактива (7). Надуксусная кислота определялась иодометрически в солянокислой среде титрованием 0,01 N Na₂S₂O₃ (8). Контрольные опыты показали, что перекись водорода даже в максимальных количествах получаемых во время эксперимента, в тех же условиях (т. е. в солянокислой среде), не выделяет J₂. CH₂O анализировалась на

^{*} В работе принимала участие И. В. Капанцян.

ФЭК с использованием хромотроповой кислоты (9), СО и СО2 определялись на оптико-акустическом газоанализоторе типа OA-2109 и OA-2209 со-

ответственно. Воспроизводимость результатов была хорошей.

На рис. 1 представлены кинетические кривые расходования ацетальдегида и накопления надуксусной кислоты, перекиси водорода, уксусной кислоты, формальдегида, окиси углерода, двуокиси углерода и метилового спирта при температуре 350°. Аналогичные кривые были получены при температурах 325-375°. Из экспериментальных данных следует, что при этих температурах и малых временах $t_{\scriptscriptstyle
m K}$ пребывания реагирующего газа



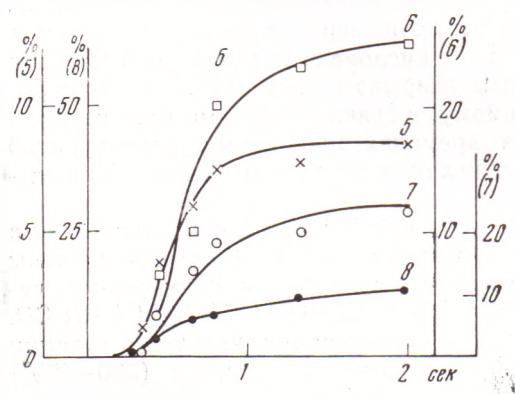


Рис. 1. Кинетика расходования [СН,СНО] / / [CH $_3$ CHO] (1), накопления надуксусной кислоты [CH $_5$ CO $_3$ H] / [CH $_3$ CHO] $_0$ (2), перекиси водорода [H $_2$ O $_2$] / [CH $_3$ CHO] $_0$ (3), уксусной кислоты [CH₃COOH] / [CH₃COH]₀ (4), кинетика накопления формальдегида [НСОН] / CH₃CHO]₀ (5), окиси углерода CH₂CHO]₀ (6), двуокиси углерода CH₃CHO]₀ (7) и метилового [CO] ICO21/ / [CH₃CHO]₀ (7) и метилового спирта [CH₃OH] / [CH₃CHO]₀ (8), смеси, содержащей 1,5% CH₃CHO и 98,5% воздуха при 350° С

в зоне реакции, в продуктах реакции обнаруживаются весьма заметные количества надуксусной кислоты. На рис. 2 представлены кинетические кривые накопления надуксусной кислоты при 325, 350 и 375° соответственно. По отношению к исходному ацетальдегиду максимальные концентрации при указантемпературах достигают 10,4 и 2% соответственно. Падение максимальных концентраций надуксусной кислоты с повышением температуры, очесвязано реакцией видно. \mathbf{c} распада CH₃COOOH → → CH₃COO + OH, с реакцией распада ацетилперекисного ради- $CH_3CO_3 \rightarrow CH_3C + CO_2$ также с распадом ацетильного $CH_3CO \rightarrow CH_3 + CO$. радикала Видно, что в пределах ошибок опыта, при временах, когда концентрации надкислоты достигают наибольших значений, скорости расходования апетальдегида максимальны. В области 325-375°, когда скорости реакций достигают максимальных значений, около 30% исходного альдегида вступает в реакцию, образуя значительные количества первичных и вторичных продуктов реакции. При этом время достижения максимальных скоростей сокращается от 1 сек. при 325° до 0,3 сек. при

375°. При 325° и выше в продуктах реакции обнаруживаются в заметных количествах перекись водорода, формальдегид, метиловый спирт и окись углерода. При всех температурах концентрации указанных соединений продолжают расти и после того, как концентрации надуксусной кислоты, достигнув максимальных значений, падают при дальнейшем увеличении времени контакта.

Накопление Н₂О₂ по сравнению с накоплением надкислоты происходит с заметным запаздыванием во времени. Если при 350° и $t_{\kappa}=0.3$ кондентрация надкислоты составляет около 2%, то концентрация перекиси водорода — всего 0.1%. С увеличением t_{κ} (H_2O_2) продолжает непрерывно расти, в то время как концентрация надуксусной кистоты, достигнув мак-154

симума при $t_{\rm K} = 0.4 - 0.5$ сек, начинает быстро падать с дальнейшим ростом $t_{\rm k}$. Из рис. 1a отчетливо видно, что при 350° концентрация уксусной кислоты, подобно концентрации надуксусной кислоты, с t_{κ} возрастает, достигает максимального значения и затем быстро падает с дальшейшим увеличением t_к. Аналогичная картина наблюдалась при 325-375°. Таким обра-

зом уксусная кислота из конечного продукта окисления ацетальдегида при низких температурах, в области 325-375° превращается в промежуточный продукт. Максимальные значения концентраций уксусной и надуксусной кислот в пределах ошибок опыта достигаются при одном и том же времени контакта. С температурой максимальные концентрации ĈН₃СООН падают от 5,5% при 325° до 1,9% при 375°. Наличие вполне измеримых количеств надуксусной кислоты в продуктах окисления ацетальдегида ставит под сомнение гипотезу о роли (1) в акте разветвления цепи в процессе окисления пропана. Нетрудно показать, что скорость распа-

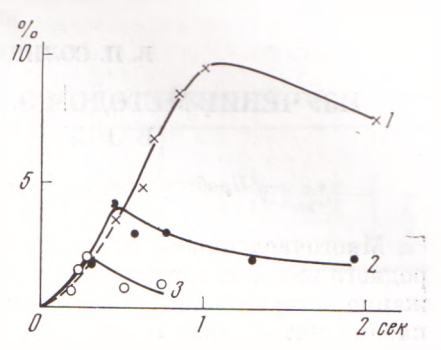


Рис. 2. Кинетика накопления над-/ [CH₃CHO] в % при 325° (1), 350° (2), 375° С (3)

да перекиси ацетила на радикалы неизмеримо больше окисления ацеталь-

дегида по реакции (1).

Рассчитаем отношение $W_{\rm p}/W_{\rm i}$ для $T=375^{\circ}\,{\rm C}.$ При этой температуре в опыте найдено [CH₃COOOH]/[CH₃CHO]₀ = 2/100. Возьмем $k_p = 10^{14} \cdot e^{-32200/RT}$ сек⁻¹ (3), $k_1 = 7.5 \cdot 10^{-11} \cdot e^{-41000/RT}$ см³ молек⁻¹ сек⁻¹ (4). Отсюда

$$\frac{W_{\rm p}}{W_{\rm 1}} = \frac{k_{\rm p} \, [{\rm CH_3COOOH}]}{k_{\rm 1} \, [{\rm O_2}] \, [{\rm CH_3CHO}]} = \frac{10^{14} \cdot e^{-32200/RT} \cdot 2 \cdot 650}{7 \cdot 5 \cdot 10^{-11} \cdot e^{41000/RT} \cdot 100 \cdot 10^{19} \cdot 140} \approx 10^7.$$

Таким образом, чтобы реакция распада надуксусной кислоты могла конкурировать с реакцией (1) достаточно, чтобы концентрация органической перекиси была в несколько тысяч раз меньше обнаруженной нами в опыте при 375°. Если даже не вся органическая перекись распадается гомогенно с образованием свободных радикалов, а лишь ее небольшая часть, а остальная перекись распадается гетерогенно без образования радикалов, то и в этом случае скорость образования радикалов по реакции СН₃СОООН → → CH₃COO + OH будет больше скорости реакции (1).

Обнаружение больших концентраций органической перекиси в реакции окисления СН₃СНО в области 300-400° и малых временах контакта позволяет заключить, что за акт разветвления в реакции окисления пропана должны отвечать реакции гомогенного распада органических перекисей, образующихся в результате взаимодействия алкилперекисных (5. 6)

и апетилперекисных радикалов с альдегидами.

Авторы выражают благодарность С. С. Поляк за ценную дискуссию.

Лаборатория химической физики Академии наук АрмССР Ереван

Поступило 26 X 1972

ПИТИРОВАННАЯ ЛИТЕРАТУРА

¹ В. Я. Штерн, Механизм окисления углеводородов в газовой фазе, Изд АН СССР, 1960. ² С. С. Поляк, В. Я. Штерн, ДАН, 192, 1090 (1970). ³ С. Schmidt, А. М. Schon, Canad. J. Chem., 41, 1819 (1963). ⁴ И. А. Варданян, Г. А. Сачян, А. Б. Налбандян, Арм. хим. журн., 25, 281 (1972). ⁵ Г. Ш. Алавердян, Г. А. Сачян, А. Б. Налбандян, ДАН, 204, № 3 (1972). ⁶ С. D. Cullis, С. Н. Hinshelwood, Disc. Farad. Soc., № 2, 117 (1947). ⁷ G. M. Eisenberg, Ind. and Eng. Chem., Analytical Edition, 15, 327 (1943). ⁸ С. А. Мс Dowell, І. Н. Тhomas, J. Chem. Phys., 17, 588 (1949). ⁹ Ф. Файгль, Капельный анализ органических ремомерт. М. 1062 стр. 440 веществ, М., 1962, стр. 440.